

1/15
Bukofsky et al. TML
FIS920020113US1

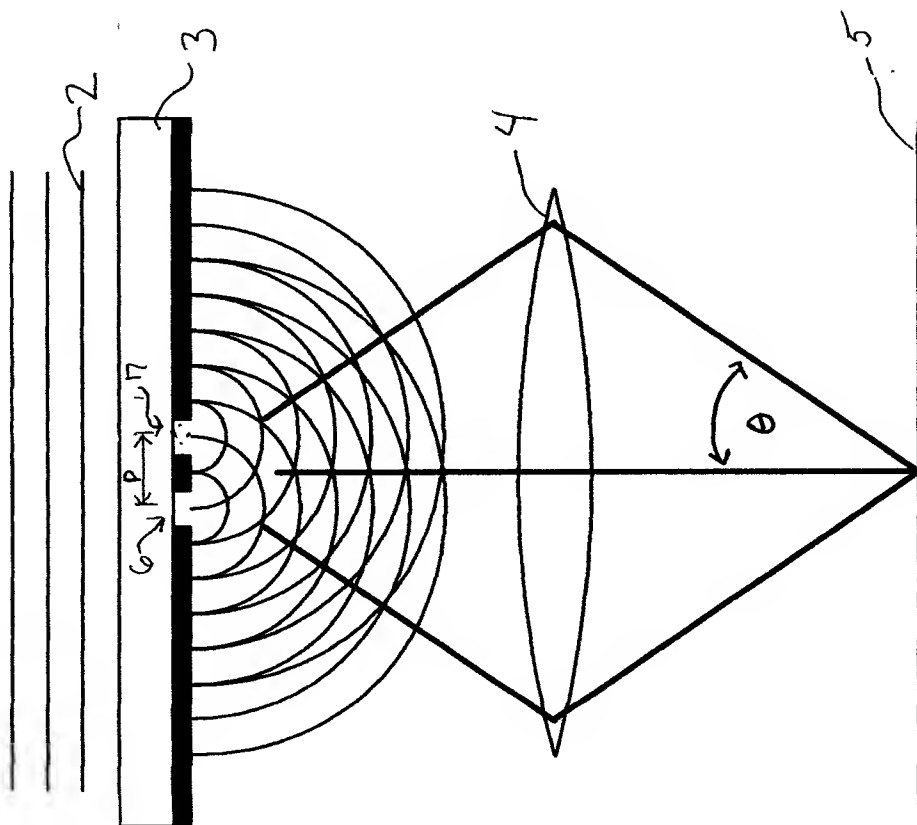


FIG. 1A

2/15
Bukofsky et al. TML
FIS920020113451

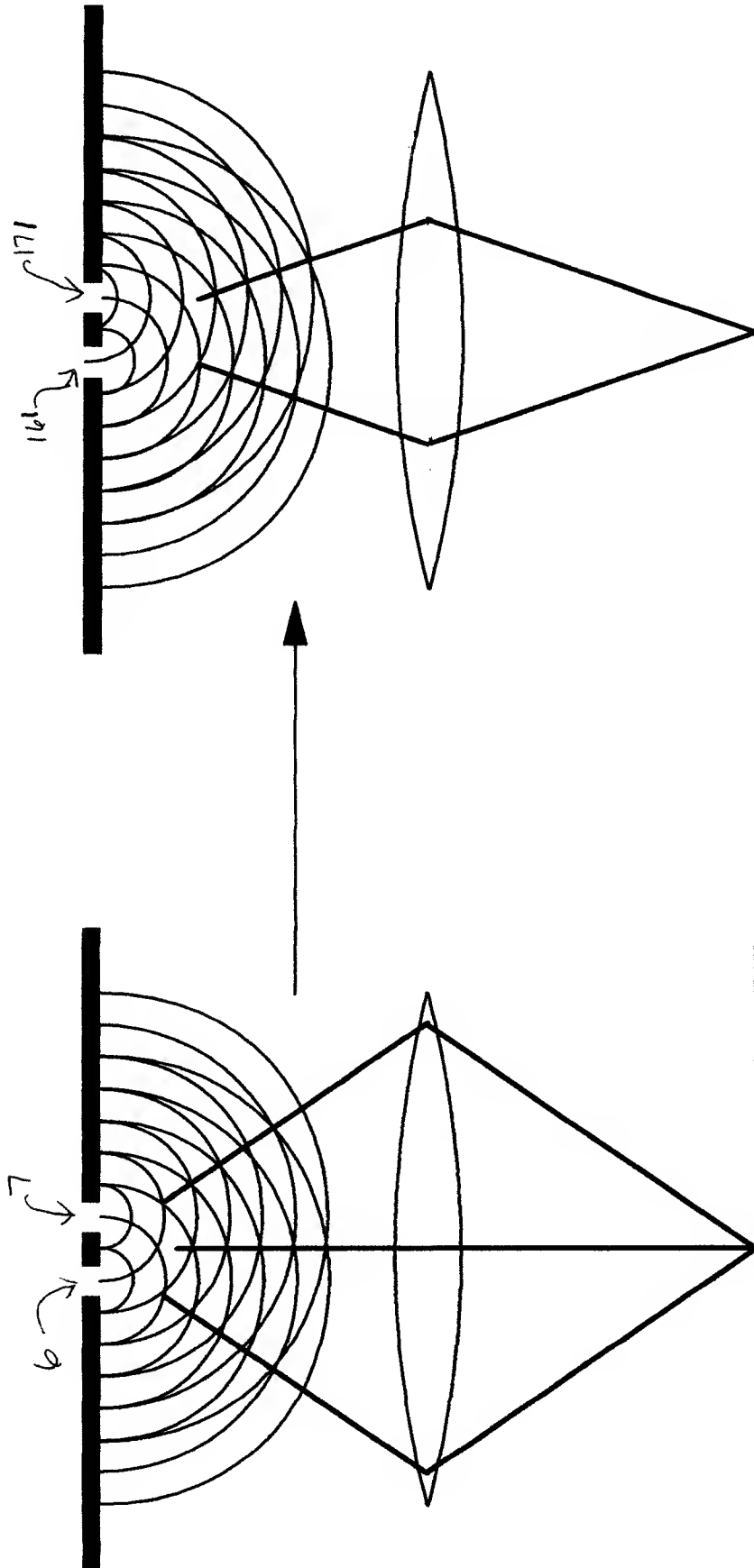


FIG. 1B

3/15
Bukofsky et al. TML
FIS920020113US1

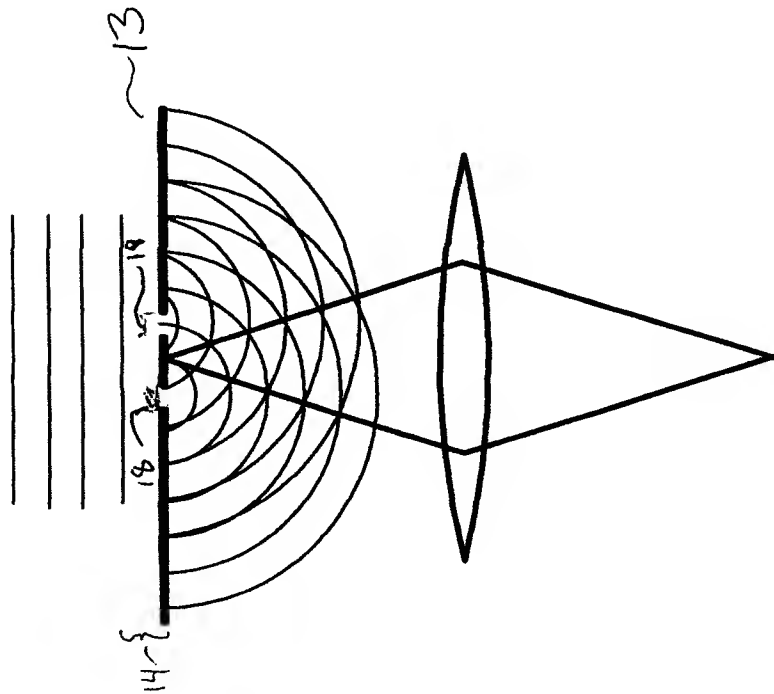


FIG. 1C

4/15
Bukofsky, et al. TML
FIS920020113US1

FIG. 1A

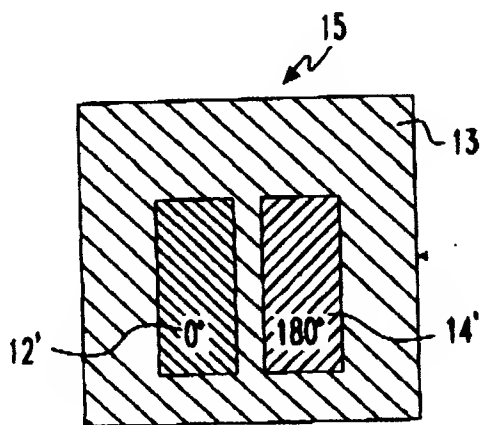
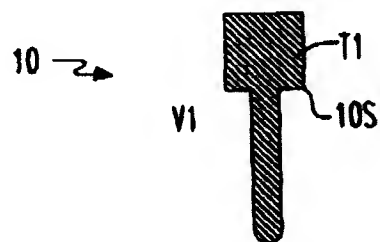


FIG. 1B

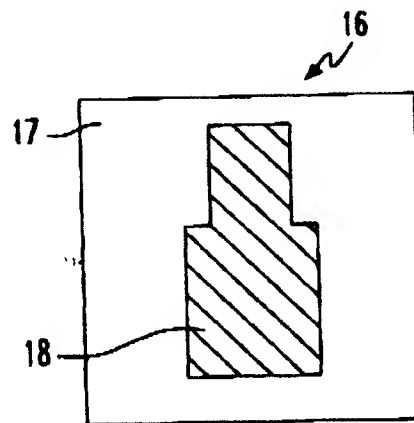


FIG. 2D

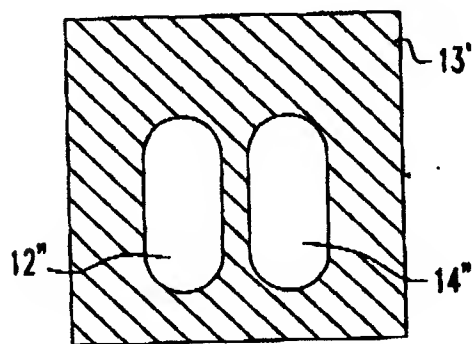


FIG. 1C

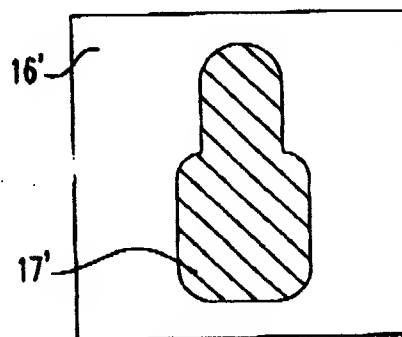
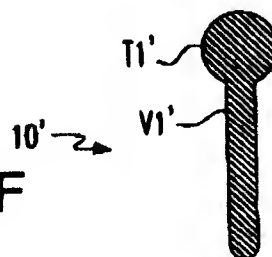


FIG. 2E

FIG. 1F



5/15
FIS920020113US1

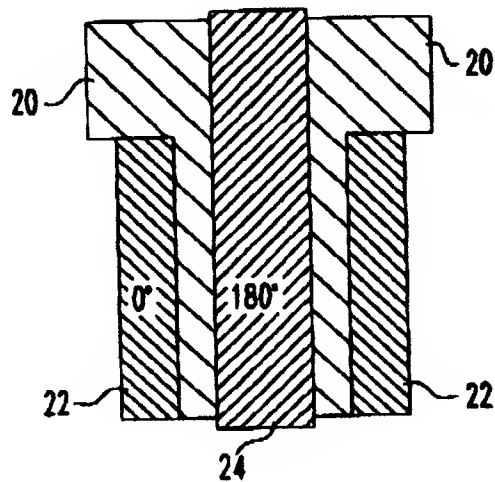


FIG. 3A

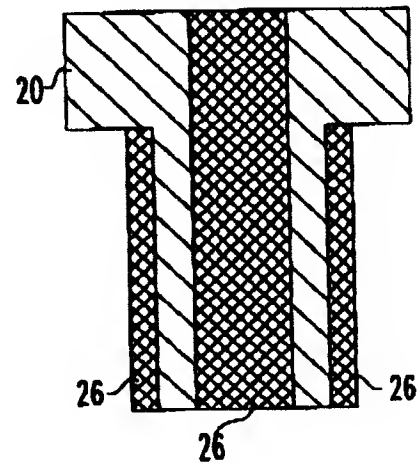


FIG. 3B

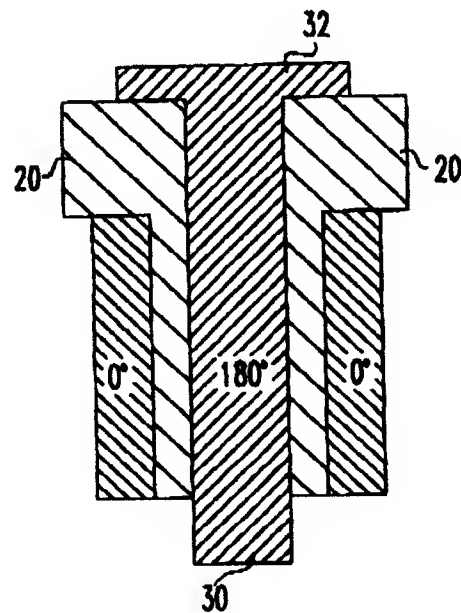


FIG. 3C

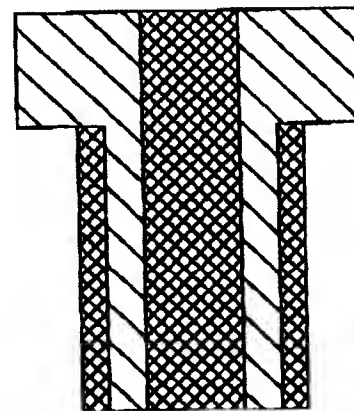


FIG. 3D

6/15
FIS920020113US1

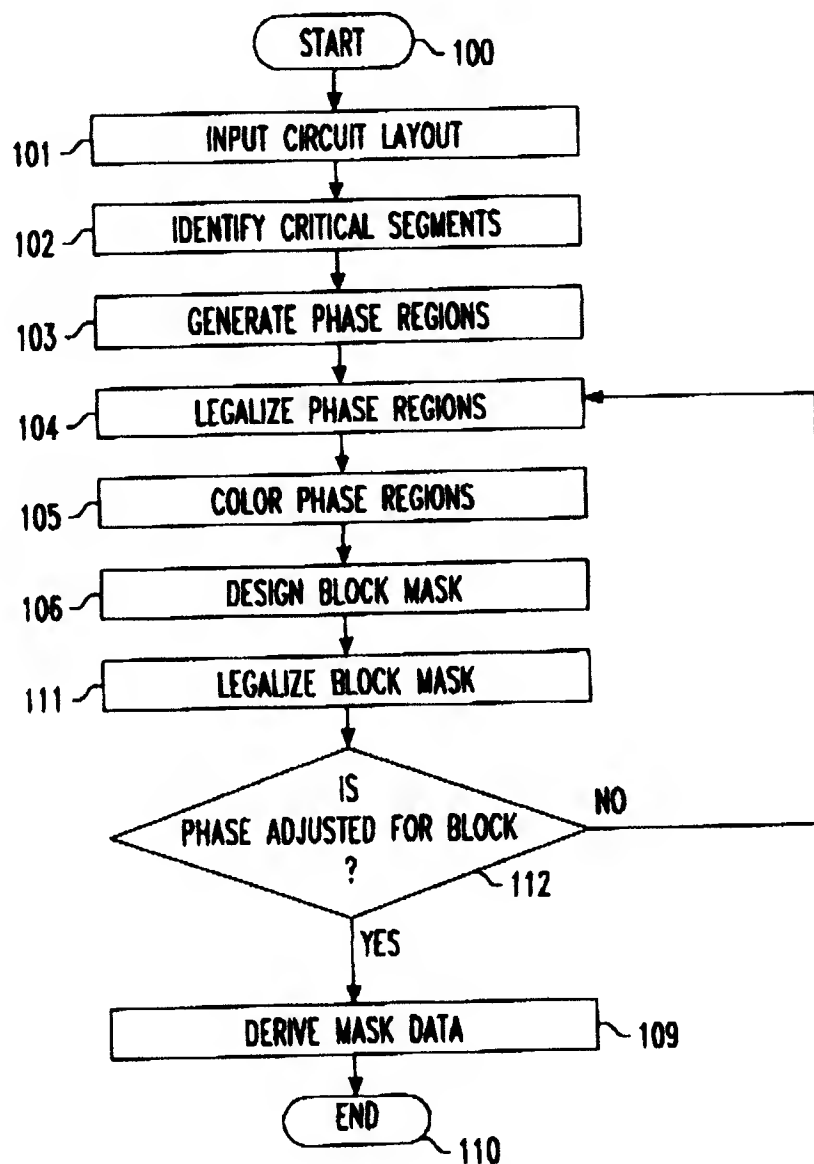


FIG. 4 (PRIOR ART)

7/15
FIS920020113US1

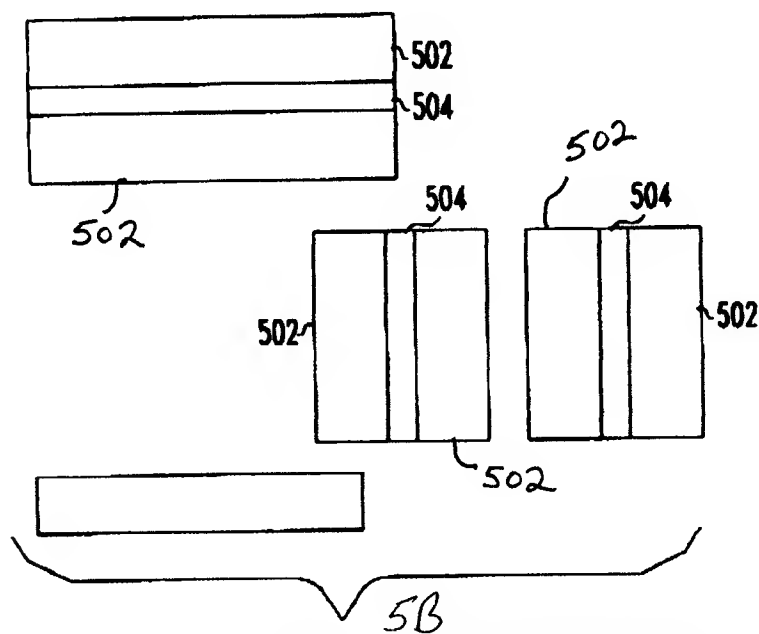
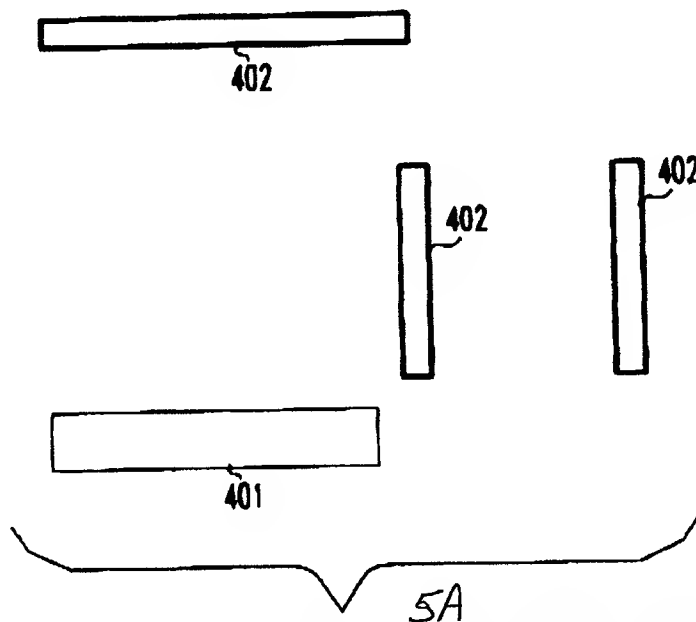


FIG. 5B (PRIOR ART)

8/15
FIS920020113US1

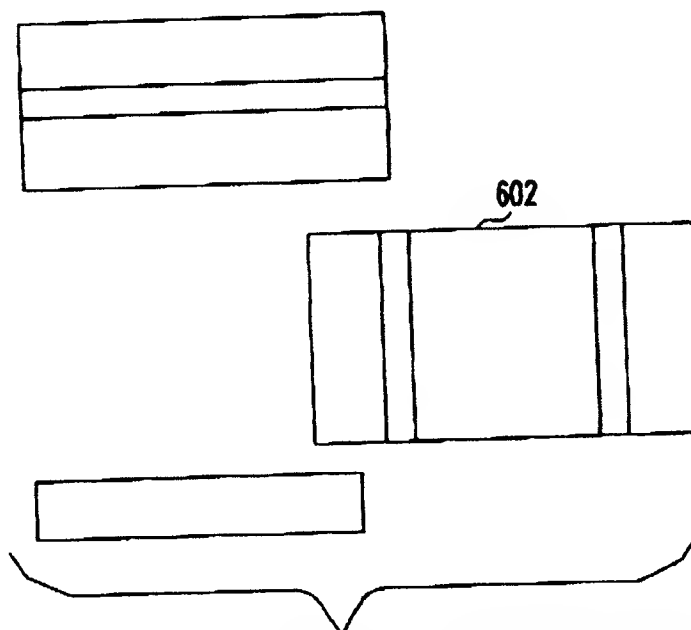


FIG. 6 (PRIOR ART)

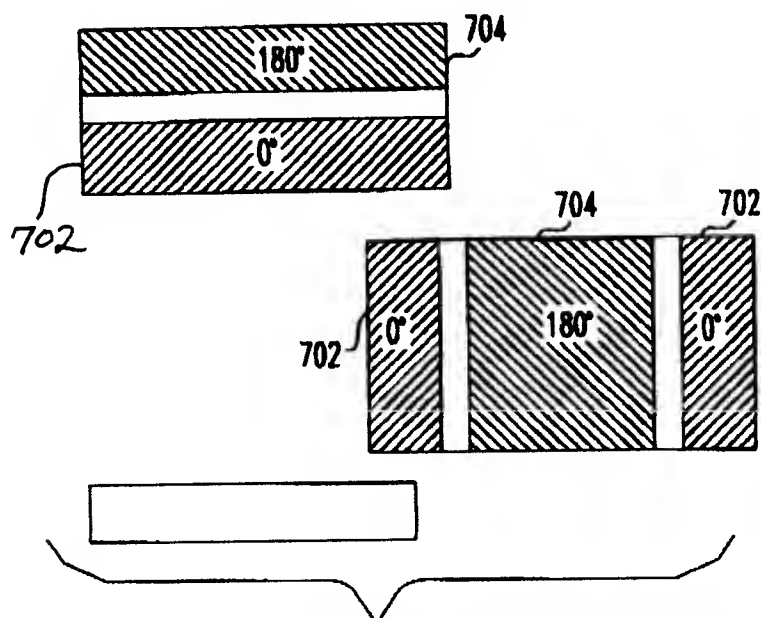
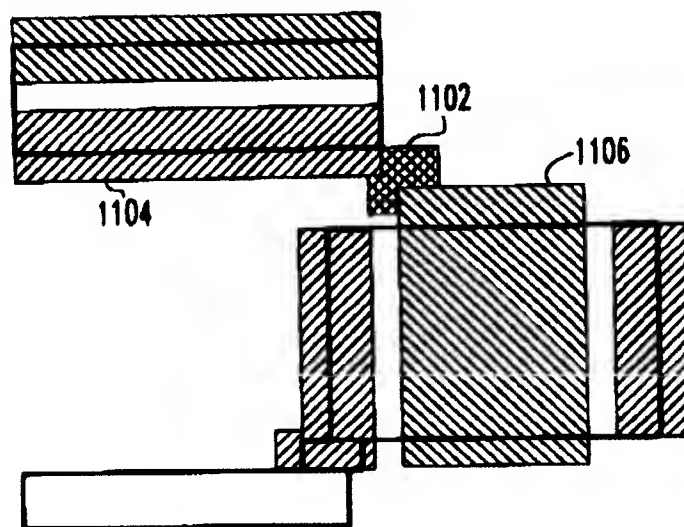
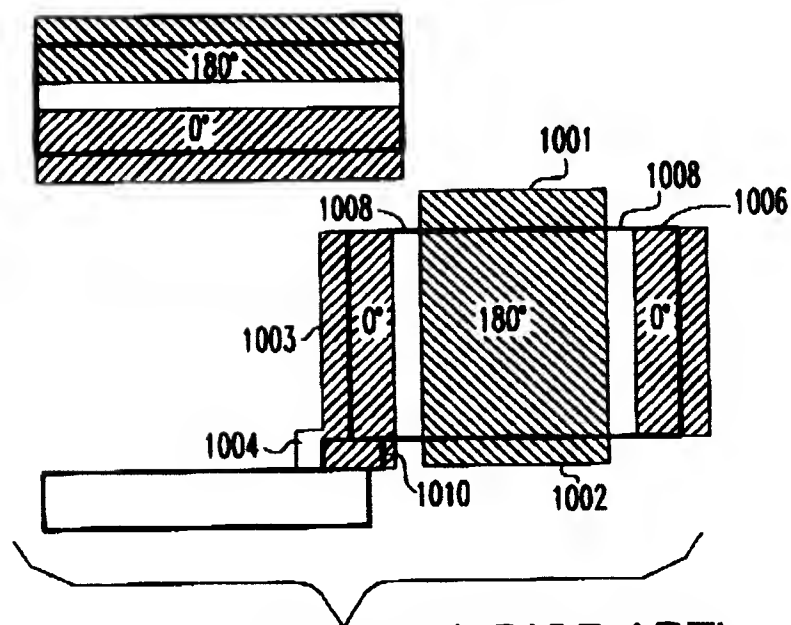


FIG. 7 (PRIOR ART)

10/15
FIS920020113US1



11/15
FIS920020113US1

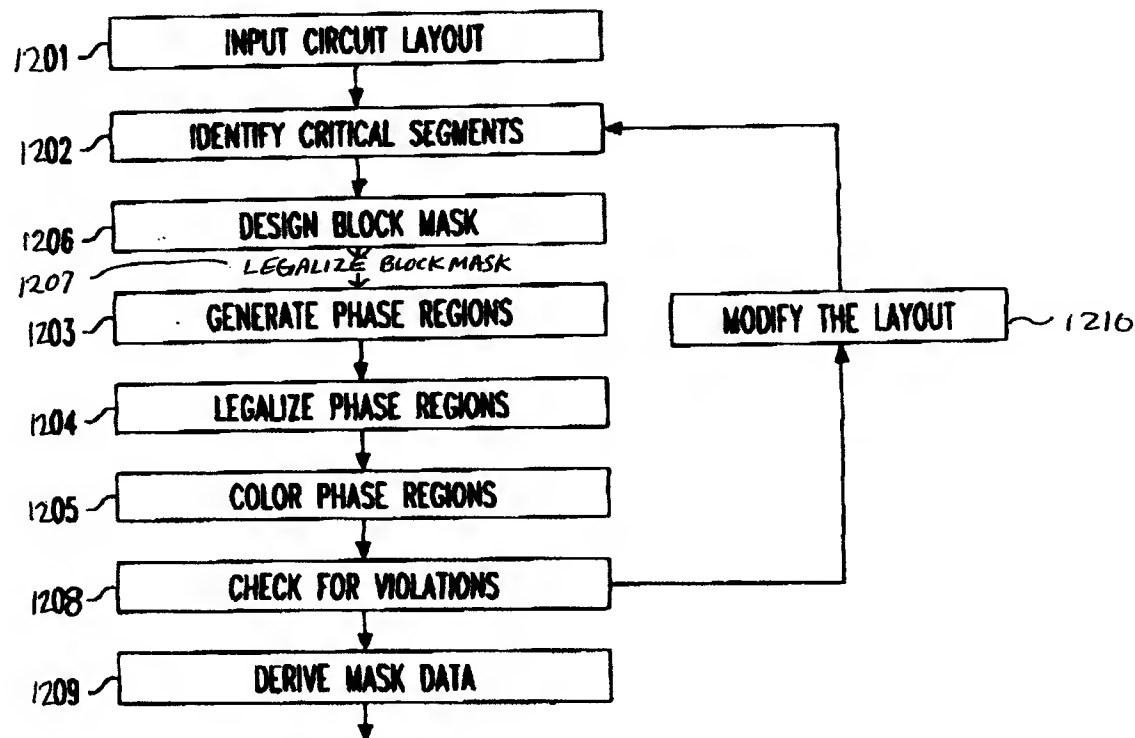


FIG. 12

12/15
FIS920020113US1

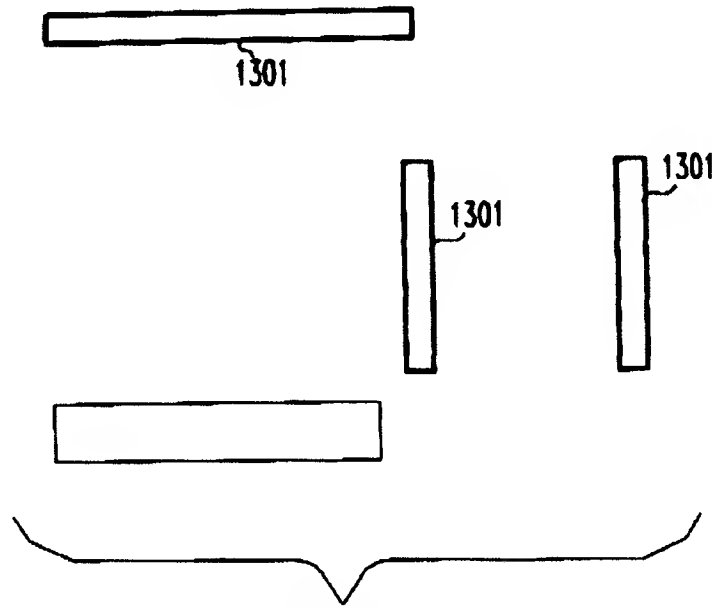


FIG. 13

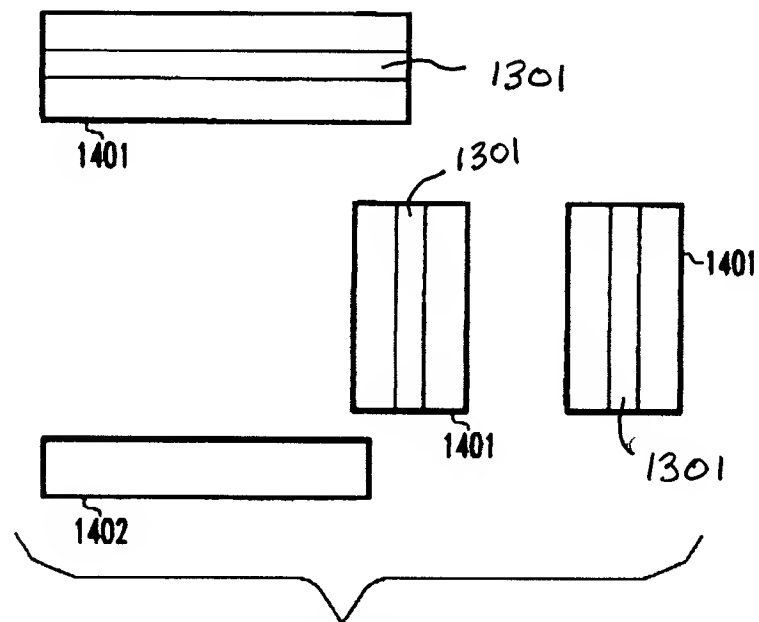


FIG. 14

13/15
FIS920020113US1

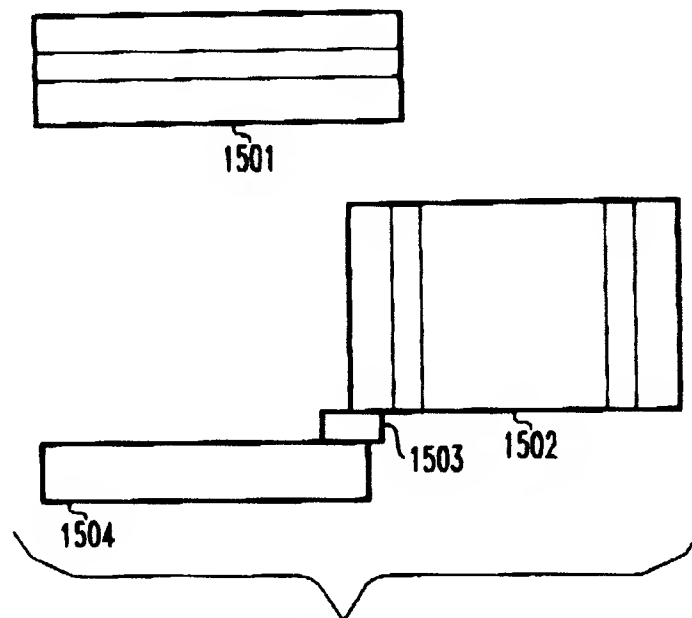


FIG. 15

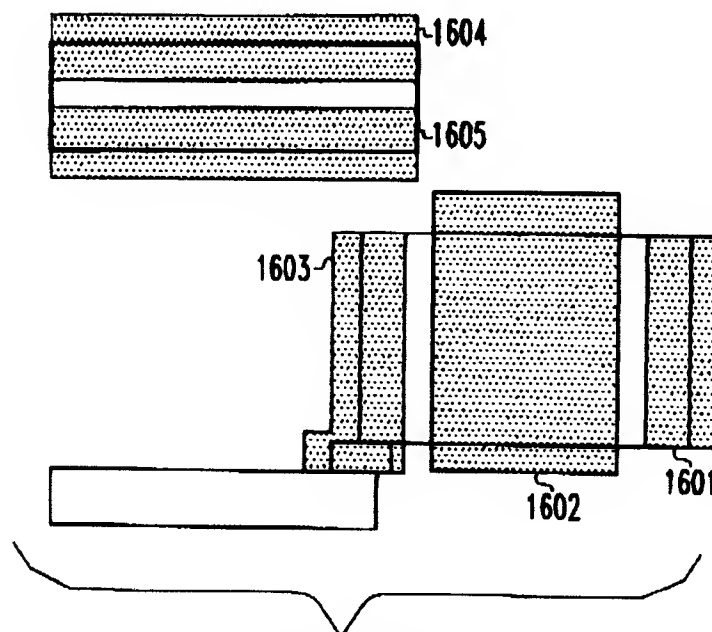


FIG. 16

14/15
FIS920020113US1

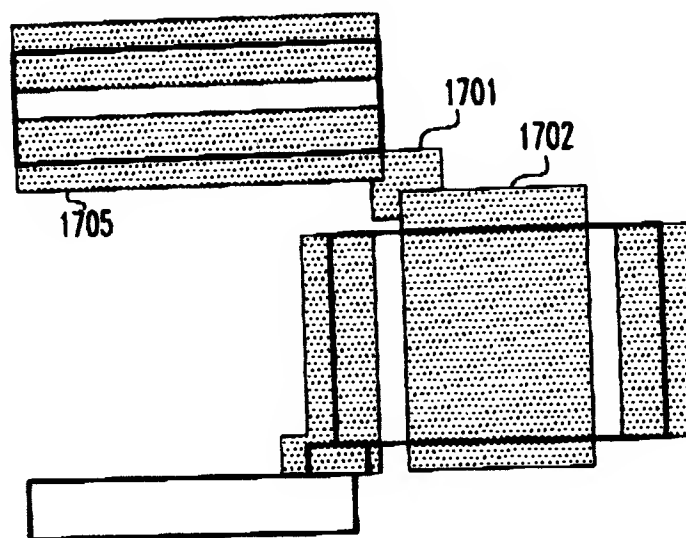


FIG. 17

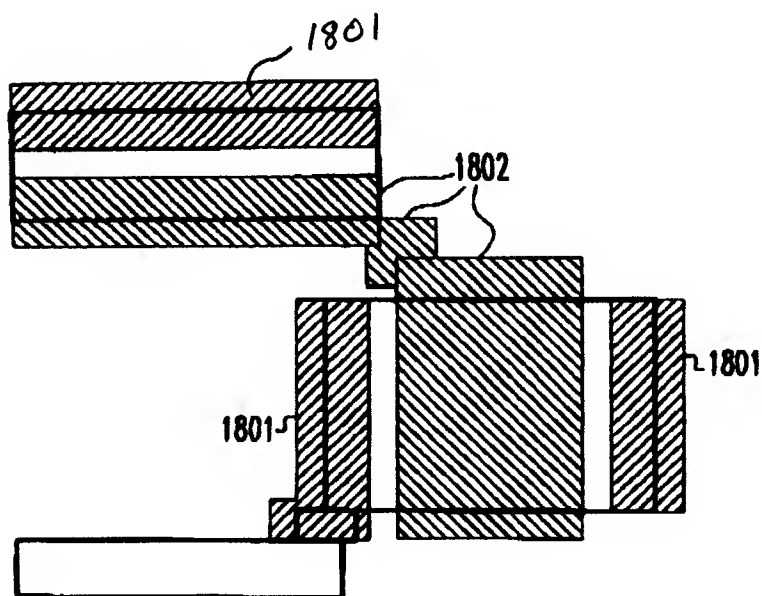


FIG. 18

15/15
FIS920020113US1

